

**МАГНИТНЫЕ СВОЙСТВА И КРИТИЧЕСКИЙ ТОК
СВЕРХПРОВОДЯЩИХ ПЛЕНОК $\text{RBa}_2\text{Cu}_3\text{O}_x$ ($\text{R} = \text{Y}, \text{Eu}, \text{Ho}$)**

Л.З.Авдеев¹⁾, А.В.Волкозуб¹⁾, А.И.Головашкин, Е.В.Екимов,
С.И.Красносвободцев, К.К.Лихарев¹⁾, Е.В.Печень,
О.В.Снигирев¹⁾, В.В.Ханин¹⁾

Температурные зависимости критической плотности тока монокристаллических пленок высокотемпературных сверхпроводников изучены параллельно бесконтактным (магнитным) и контактным методами. Показано, что в магнитных полях до 10^2 Э, ориентированных перпендикулярно плоскости пленки, хорошо выполняется модель Бина.

Электродинамические свойства высокотемпературных сверхпроводников представляют большой интерес как с общенаучной, так и прикладной точек зрения. Ранее уже было продемонстрировано, что весьма удобными для изучения этих свойств являются бесконтактные магнитные методы. Так, например, измеряя температурные и полевые зависимости магнитного момента M объемных монокристаллов¹ и образцов тонких пленок²⁻⁴, удается не только определить температуру перехода T_c в сверхпроводящее состояние, но и количественно измерить температурные зависимости плотности их критического тока j_c . Однако при сравнении этих данных с полученными путем контактных (электрических) измерений были отмечены некоторые расхождения^{2,4}. Целью настоящей работы являлось изучение магнитных свойств тонких пленок высокотемпературных сверхпроводников $\text{RBa}_2\text{Cu}_3\text{O}_x$ ($\text{R} = \text{Y}, \text{Ho}, \text{Eu}$) и сравнение значений j_c и T_c , полученных для одних и тех же образцов бесконтактным методом и прямыми контактными электрическими измерениями.

Монокристаллические пленки составов, близких к $\text{RBa}_2\text{Cu}_3\text{O}_{7-\delta}$ ($\text{R} = \text{Y}, \text{Eu}, \text{Ho}; \delta \lesssim 0,5$) и толщиной d от 0,15 до 1 мкм с ориентацией оси с перпендикулярно плоскости монокристаллической подложки SrTiO_3 изготавливались импульсным лазерным распылением керамических мишеней стехиометрического состава по методике, описанной в работе⁵. Часть образца с участком пленки в форме квадрата со стороной $D \approx 1$ мм наклеивалась на кварцевую нить и помещалась в ампулу универсального сквид-магнитометра⁶, в котором для получения большого динамического диапазона (> 130 дБ) использовался аналого-цифровой режим работы электроники сквида. Магнитный момент пленки измерялся при медленном отогреве образца в постоянном магнитном поле H , перпендикулярном ее плоскости, после охлаждения пленки до гелиевых температур в слабом поле $H' \lesssim 0,1$ Гц.

Оказалось, что для всех исследованных образцов (см. таблицу), зависимости $M(T, H)$ в нашем диапазоне полей $H \lesssim 10^2$ Э с увеличением температуры всегда выходят на асимптоту $M_c(T)$, практически не зависящую от H (рис. 1). Такая зависимость следует из любой модели сильного пиннинга абрикосовских вихрей на ненасыщенном ансамбле неоднородностей ("модели Бина"⁷)², приводящей к независимости плотности критического тока j_c от магнитного поля H . При этом значение $j_c(T)$ для квадратного образца можно найти как¹:

$$j_c(T) = - \frac{6}{D^3 d} M_c(T).$$

¹⁾ Физический факультет МГУ.

²⁾ Этот вывод подтверждается проведенными нами измерениями эффекта Мейсснера, т. е. зависимости $M^*(T)$ при охлаждении пленки, начиная с $T > T_c$, в фиксированном поле H . Так при $H \approx 1$ Э и $T \ll T_c$ значения M^* составляли всего $\sim 1\%$ от соответствующих полной экранировке.

Как видно из рис. 1, зависимость $j_c(T)$ близка к линейной, кроме небольшого температурного интервала вблизи T_c . Этот вывод хорошо коррелирует с результатами прямых измерений $j_c(T)$ (рис. 2), проведенных нами с помощью стандартной четырехконтактной методики (для проведения этих измерений из напыленной пленки вырезался сапфировым резцом или напылялся через маску микромостик с размерами $\sim 0,2 \times 0,2 \text{ mm}^2$).

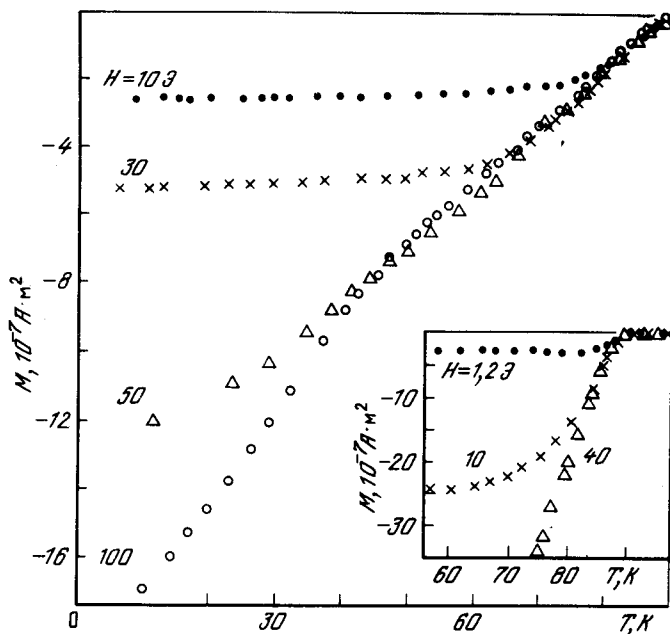


Рис. 1

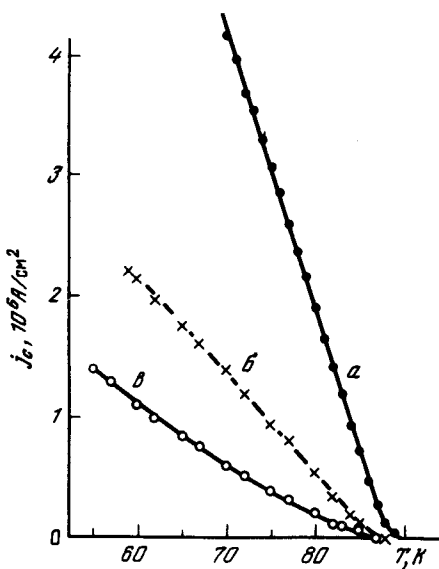


Рис. 2

Рис. 1. Температурные зависимости намагниченности пленок Ho - Ba - Cu - O - 151 ($D = 1 \pm 0,1 \text{ мм}, d = 0,45 \pm 0,05 \text{ мкм}$) и Y - Ba - Cu - O - 102 ($D = 2 \pm 0,1 \text{ мм}, d = 0,20 \pm 0,05 \text{ мкм}$, вставка), полученные при отогреве в различных полях намагничивания H после охлаждения в поле $H' \leq 0,1 \text{ Гц}$

Рис. 2. Температурные зависимости плотности критического тока, полученные электрическими измерениями для пленок: a - Ho - Ba - Cu - O - 204, b - Y - Ba - Cu - O - 170, c - Eu - Ba - Cu - O - 177

**Критические токи (в 10^5 А/см²) монокристаллических пленок
высокотемпературных сверхпроводников ($T = 77$ К)³⁾**

Образец	Магнитные (бесконтактные) измерения	Электрические (контактные) измерения
Eu – Ba – Cu – O – 138	0,62	3,7
Eu – Ba – Cu – O – 177	8,0	2,0 – 4,0
Y – Ba – Cu – O – 102	11	–
Y – Ba – Cu – O – 170	1,7	2,3 – 7,5
Ho – Ba – Cu – O – 151	2,6	1,4
Ho – Ba – Cu – O – 204	–	26

В таблице приведены результаты измерений значений j_c при $T = 77$ К, полученные двумя описанными выше методами. Видно, что эти значения могут отличаться в ту или другую сторону в несколько раз. Наиболее вероятная причина такого различия – макроскопическая неоднородность пленок по площади подложки ($\sim 1 \times 1$ см²). Кроме этого, при контактном методе возможно уменьшение измеряемых значений j_c по сравнению с истинными под влиянием значительного тепловыделения в токовых контактах.

Нами было проведено также сравнение поведения вблизи T_c кривых $M_c(T)$ и $R(T)$, снятых указанными выше методами, друг с другом, а также с кривыми $\tilde{M}(T)$ экранировки пленкой слабого переменного поля⁵. Оказалось, что значения M , \tilde{M} и R достигают апаратурных нулей в точках, близких друг к другу, и заметно (на $1 \div 2$ К) ниже точки T_{c0} начала сверхпроводящего перехода на кривой $R(T)$. Этот результат представляется более естественным, чем полученный в работе⁴, где сообщалось о заметном диамагнитном отклике $M(T)$ вплоть до температур много больших T_{c0} .

Результаты работы показывают, что магнитные свойства монокристаллических пленок высокотемпературных сверхпроводников $R\text{Ba}_2\text{Cu}_3\text{O}_x$ ($R = \text{Y}, \text{Eu}, \text{Ho}$), ось с которых ориентирована перпендикулярно плоскости подложки, хорошо описываются, по крайней мере в небольших ($\lesssim 100$ Э) полях, моделью Бина, а бесконтактный магнитный метод является удобным и надежным способом измерения T_c и зависимостей $j_c(T)$.

Литература

1. Аведеев Л.З., Быков А.Б., Демьянц Л.Н. и др. Письма в ЖЭТФ, 1987, **46**, 196.
2. Chaudhari P., et al. Phys. Rev. Lett., 1987, **58**, 2684.
3. Webb C., et al. Appl. Phys. Lett., 1987, **51**, 1191.
4. Laibowitz R.B., et al. Phys. Rev. B, 1987, **35**, 8821.
5. Головашкин А.И., Екимов Е.В., Красносовбодцев С.И., Печень Е.В. Письма в ЖЭТФ, 1988, **47**, 157.
6. Aydeev L.Z., et al. IEEE Trans. Magn., 1985, MAG **21**, 914.
7. Сан-Жам Д., Сарма Г., Томас Е. Сверхпроводимость второго рода, М.: Мир, 1970, гл. 8 и 10.

Физический институт им. П.Н.Лебедева
Академии наук СССР

Поступила в редакцию
21 марта 1988 г.

³⁾ Интервалы значений j_c соответствуют измерениям на различных участках данного образца; прочерки означают, что измерения одним из методов не проводились.